

طراحی قانون هدایت تناسبی-انتگرالی با استفاده از ملاک دایره

ایمان محمدزمان^۱، حمیدرضا مومنی^۲

^۱ دانشجوی دکتری مهندسی برق، دانشگاه تربیت مدرس، mohammadzaman@modares.ac.ir

^۲ دانشیار، دانشکده مهندسی برق و کامپیوتر، دانشگاه تربیت مدرس، momeni_h@modares.ac.ir

(تاریخ دریافت مقاله ۱۳۸۹/۳/۷، تاریخ پذیرش مقاله ۱۳۸۹/۵/۱۸)

چکیده: در این مقاله یک قانون هدایت تناسبی-انتگرالی به منظور صفر کردن نرخ چرخش خط دید ارائه شده که در آن شرط پایداری حلقه هدایت در حضور دینامیک خودخلبان و جستجوگر با استفاده از ملاک دایره مورد ارزیابی قرار گرفته است. شرط ارائه شده یک محدوده برای زمان باقیمانده تا برخورد ارائه نموده که می‌تواند علاوه بر تضمین پایداری به عنوان ابزار طراحی پارامترهای قانون هدایت، خودخلبان و جستجوگر در نظر گرفته شود. شرط پایداری قانون هدایت جدید نسبت به قانون ناوبری تناسبی دارای فضای پایداری بیشتری بوده و از محافظه کاری کمتری برخوردار است. نتایج شبیه‌سازی نشان دهنده آن است که قانون هدایت جدید نسبت به قانون ناوبری تناسبی دارای قوام بیشتری نسبت به مانور هدف بوده و عملکرد بهتری از خود نشان داده است.

کلمات کلیدی: هدایت تناسبی-انتگرالی، ملاک دایره، دینامیک خودخلبان.

PI Guidance Law Design using Circle Criterion

I. Mohammadzaman, H. Momeni

Abstract: In this paper, a PI guidance law is proposed to nullify the LOS rate. Stability of the guidance dynamics including autopilot and seeker dynamics is analyzed by employing circle criterion. Stability conditions give an analytical bound for the time of the flight up to which stability can be assured. The stability bound of the new guidance law is less conservatism than PN guidance law. Also, this approach can be used as a tool for Guidance, Autopilot and seeker parameters design. Simulation results show the effectiveness and robustness of the proposed guidance law against maneuvering target as compared to PN.

Keywords: PI Guidance, Circle criterion, Autopilot Dynamic.

فهرست عالیم	
ω_n : فرکانس طبیعی	شتاب: a
ذیرویس:	R : فاصله نسبی رهگیر و هدف
c : مقدار مرجع	r : نرخ چرخش خط دید رهگیر و هدف
m : رهگیر	t : زمان
M : مقدار اندازه گیری شده	t_p : زمان پرواز
r : راستای طولی خط دید رهگیر و هدف	t_{go} : زمان باقیمانده پرواز
θ : هدف	V_C : سرعت نزدیک‌شونگی رهگیر و هدف
θ : راستای جانبی خط دید رهگیر و هدف	γ : ضریب میرایی
0 : مقدار اولیه	τ : ثابت زمانی رهگیر
ω : فرکانس	

-۱- مقدمه

تمامی قوانین هدایت مدل غزشی دارای مراحل هموارسازی بوده که منجر به ازدست دادن جزئی قوام نسبت به اختشاش و نامعینی می‌شود. این مساله در کنترل مدل غزشی مرتبه بالا مورد توجه قرار گرفته است. در [۱۴] و [۱۵] الگوریتم هدایت بر پایه کنترل مدل غزشی مرتبه دوم مجازی هموار به منظور ساختن سیستم هدایت و کنترل یکپارچه استفاده شده است. در این روش با وجود مانور هدف، سطح لغزش وابسته به شتاب هدف می‌باشد و لذا تخمینی از مانور هدف برای آن اجتناب ناپذیر است. همچنین با توجه به پیچیدگی قوانین بدست آمده با این روش، استفاده از آن در سیستم‌های عملی محدود می‌باشد. در [۱۶] و [۱۷] با استفاده از ایده ناویری تنسی-انگرالی برای پیش‌فاز برای رسیدن به فاصله ازدست‌دهی صفر با در نظر گرفتن دینامیک رهگیر ارائه کرده است. ولیکن این قانون نسبت به نویز حلقه هدایت دارای حساسیت زیادی بوده و فرضیات در نظر گرفته شده در این حالت، باعث کاهش عملکرد این قانون در حالت واقعی خواهد شد. بطوريکه عملکرد مناسب آن با در نظر گرفتن معادلات سینماتیک غیرخطی و در حضور مانور هدف سوال برانگیز می‌باشد و پیاده‌سازی عملی آن نیز با مشکلاتی همراه خواهد بود.

در این مقاله از هدایت تنسی-انگرالی برای طراحی قانون هدایت استفاده شده است. این قانون بدون اضافه کردن سنسور جدید به سیستم، از نرخ چرخش خط دید و زاویه خط دید (انگرال نرخ چرخش خط دید) برای محاسبه قانون هدایت استفاده نموده و مشکلات پیاده‌سازی نیز در آن وجود ندارد.

در [۱۸] از روش ملاک دایره برای تحلیل حلقة هدایت با در نظر گرفتن قانون ناویری تنسی-انگرالی استفاده شده و شروط کافی برای پایداری بدست آمده است. از آنجا که می‌توان حلقة هدایت را بصورت یک سیستم خطی غیر متغیر با زمان و یک بهره متغیر با زمان مدل نمود، ملاک دایره می‌تواند یک ابزار مناسب برای تعیین ناحیه پایداری آن باشد. در این مقاله با استفاده از ملاک دایره، قانون هدایت تنسی-انگرالی مناسب برای صفر کردن نرخ چرخش خط دید و تضمین پایداری حلقة هدایت با وجود دینامیک خودخلبان و جستجوگر طراحی شده است. با استفاده از شرط بدست آمده می‌توان بهره‌های قانون هدایت تنسی-انگرالی را طوری تنظیم نمود که ناحیه همگرایی قانون هدایت جدید نسبت به ناحیه همگرایی قانون ناویری تنسی ارائه شده در [۱۸] افزایش یابد. همچنین تحلیل پایداری حلقة هدایت نشان داده است که پایداری قانون هدایت تنسی-انگرالی از محافظه‌کاری کمتری نسبت به پایداری قانون ناویری تنسی ارائه شده در [۱۸] برخوردار است.

قوانين موجود در زمینه هدایت رهگیرها در اکثر مقالات و تحقیقات و کاربردهای عملی از ناویری تنسی-انگرالی استفاده کرده و این روش به عنوان یک معیار برای ارزیابی قوانین هدایت جدید مطرح می‌باشد [۱]-[۳]. علت عدم استفاده از آن سادگی، عملکرد خوب و پیاده‌سازی آسان آن است. لذا بهبود این روش همواره مد نظر محققین بوده است. در سال‌های اخیر روش‌های مختلفی به منظور بهبود قانون ناویری تنسی ارائه شده است. در مرجع [۴]-[۷] کلاس جدیدی از قوانین ناویری تنسی با استفاده از روش لیپانوف و حل مساله پایداری با فرض ایده‌آل بودن دینامیک رهگیر به دست آمده است. تابع لیپانوف در این حالت، مربع نرخ چرخش خط دید در نظر گرفته شده است. در [۸] یک قانون هدایت با استفاده از ایده ناویری تنسی و کنترل مدل غزشی پیشنهاد شده است. سطح لغزش متناسب با نرخ چرخش خط دید انتخاب شده و مانور هدف به صورت نامعینی محدود، در نظر گرفته شده است. در [۹] با ارائه رویکرد جدیدی از پایداری زمان محدود، یک قانون هدایت با همگرایی زمان محدود بر اساس نامساوی دیفرانسیلی لیپانوف ارائه شده است. این قانون در حالات‌های خاص مشابه قانون هدایت مدل غزشی بوده و شرط پایداری زمان محدود را نیز ارضا می‌کند. در [۱۰] یک بهره متغیر با زمان با استفاده از پارامتریزاسیون یولا و استفاده از سیستم منجمد ارائه کرده که عملکرد بهتری نسبت به ناویری تنسی دارد.

روش‌های ذکر شده در بالا با فرض دینامیک ایده‌آل رهگیر توسعه داده شده است. این روش‌ها برای حالتی که در آن دینامیک جستجوگر، وسیله پرنده، خودخلبان و عملکرد ایده‌آل بوده و تاخیری بین نرخ چرخش خط دید رهگیر و هدف و شتاب رهگیر وجود ندارد، عملکرد مناسبی داشته و منجر به برخورد نقطه‌ای بین رهگیر و هدف بدون مانور می‌گردد. ولیکن در حالت واقعی با در نظر گرفتن دینامیک رهگیر، در انتهای مسیر برخورد، نرخ چرخش خط دید به سمت واگرایی میل کرده و لذا شتاب رهگیر نیز افزایش می‌یابد و حلقة هدایت به سمت نایپایداری حرکت می‌کند. این واگرایی تاثیر زیادی در فاصله از دست‌دهی^۱ گذاشته و عملکرد حلقة هدایت را کاهش می‌دهد. در [۱۱]-[۱۳] قانون هدایت با در نظر گرفتن دینامیک رهگیر با استفاده از تئوری مدل غزشی طراحی شده است. ولیکن کاربرد آن در سیستم‌های عملی به علت وجود نوسان، محدود می‌باشد. از آنجا که در بیشتر موارد قانون هدایت باقیستی منجر به یک فرمان شتاب نرم و بدون نوسان برای رهگیر شود،

^۱ Miss distance

$$a_c = \frac{K_1 + K_2}{s} V_C r_M \quad (6)$$

که در آن K_1 و K_2 ضرایب قابل تنظیم قانون هدایت و r_M نرخ چرخش خط دید اندازه گیری شده توسط جستجوگر می باشد. در سیاری از مقالات، دینامیک رهگیر و خودخلبان را بصورت ایده آل درنظر گرفته و همان فرمان شتاب ایجاد شده توسط قانون هدایت می باشد. ولیکن در حالت واقعی، سیستم پرنده شامل دینامیک جستجوگر، وسیله پرنده، خودخلبان و عملگر می باشد و درنظر نگرفتن این دینامیک در طراحی قانون هدایت ممکن است حتی منجر به ناپایداری حلقه هدایت شود. بطور کلی دینامیک جستجوگر می تواند بصورت زیر مدل شود:

$$G_1(s) = \frac{r_M(s)}{r(s)} \quad (7)$$

همچنین دینامیک رهگیر در حالت حلقه بسته و با وجود خودخلبان

را می توان بصورت زیر نمایش داد:

$$G_2(s) = \frac{a_{m_\theta}(s)}{a_c(s)} \quad (8)$$

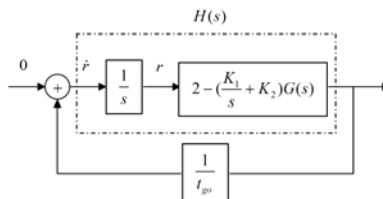
با استفاده از روابط (6) الی (8)، شتاب رهگیر بصورت زیر بدست می آید:

$$a_{m_\theta} = G_1(s)G_2(s)\left(\frac{K_1}{s} + K_2\right)V_C r \quad (9)$$

که در آن $G(s) = G_1(s)G_2(s)$ پایدار مجازی می باشد. با قرار دادن رابطه (9) در معادله (5)، سینماتیک نسی خطی شده رهگیر و هدف با فرض هدف بدون مانور بصورت زیر بدست می آید:

$$t_{go}\dot{r} = \left(2 - \left(\frac{K_1}{s} + K_2\right)G(s)\right)r \quad (10)$$

در شکل (۲)، حلقه هدایت تنسی-انتگرالی که از یک سیستم خطی غیر متغیر با زمان (s) $H(s)$ و یک بهره متغیر با زمان $1/t_{go}$ تشکیل شده نشان داده شده است. در این شکل مانور هدف a_{t_θ} برابر با صفر فرض شده است.



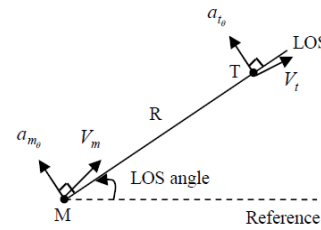
شکل ۲: حلقه هدایت تنسی-انتگرالی

۲- سینماتیک نسبی بین رهگیر و هدف

با توجه به شکل (۱)، سینماتیک نسبی بین رهگیر و هدف در مختصات دو بعدی را می توان به صورت زیر نوشت [۲۰]:

$$\ddot{R}R = r^2 R + a_{t_r} - a_{m_\theta} \quad (1)$$

$$\dot{r} = -2\frac{\dot{R}}{R}r + \frac{1}{R}(a_{t_\theta} - a_{m_\theta}) \quad (2)$$



شکل ۱: سینماتیک نسبی رهگیر و هدف در مختصات دو بعدی

که در آن R فاصله نسبی رهگیر و هدف، \dot{R} مشتق او و دوم فاصله نسبی هدف و رهگیر نسبت به زمان، r نرخ چرخش خط دید، a_{t_r} و a_{m_θ} به ترتیب شتاب هدف و رهگیر در راستای خط دید و a_{t_θ} و a_{m_θ} به ترتیب شتاب هدف و رهگیر در راستای عمود بر خط دید می باشند. اگر رهگیر با سرعت نزدیک شوندگی ثابت $\dot{R} = -V_C$ به هدف برخورد نماید، می توان نوشت:

$$R = V_C t_{go} \quad (3)$$

که در آن t_{go} نشان دهنده زمان باقیمانده تا برخورد بین رهگیر و هدف می باشد و از رابطه زیر بدست می آید:

$$t_{go} = t_f - t, \quad t_f = R_0/V_C \quad (4)$$

با استفاده از رابطه (۴)، معادله غیرخطی (۲) تبدیل به معادله خطی زیر می گردد:

$$V_C t_{go} \dot{r} - 2V_C r = -a_{m_\theta} + a_{t_\theta} \quad (5)$$

با توجه به ایده ناوپری موازی، اگر جهت خط دید نسبت به فضای اینرسی ثابت نگه داشته شود یا به عبارت دیگر خط دید در هر لحظه موازی خط دید اولیه نگه داشته شود و فاصله هدف و رهگیر نیز در حال کم شدن باشد ($0 < \dot{R}$)، رهگیر در مسیر برخورد فرار داشته و برخورد بین رهگیر و هدف حتی خواهد بود [۲]. به عبارت دیگر باستی نرخ چرخش خط دید صفر گردد. در قانون هدایت تنسی، از نرخ چرخش خط دید برای تعقیب بین رهگیر و هدف استفاده می شود. در این مقاله قانون هدایت پیشنهادی علاوه بر استفاده از نرخ چرخش خط دید، از انتگرال نرخ چرخش خط دید نیز استفاده کرده و قانون هدایت تنسی-انتگرالی بصورت زیر می باشد:

۴- پایداری قانون هدایت تابعی-انتگرالی

ملک دایره بیشتر از آن که برای بررسی پایداری مورد استفاده قرار گیرد می‌تواند به عنوان یک ابزار طراحی در نظر گرفته شده و از آن برای محدود کردن حدود بالا و پایین المان غیرخطی $f(x, t)$ استفاده کرد. به عبارت دیگر در مساله پایداری حلقة هدایت از آن جا که المان غیرخطی مطابق شکل ۲ بر اساس زمان باقیمانده تا برخورد t_{go} می‌باشد، می‌توان حدود بالا و پایین زمان باقیمانده تا برخورد را به منظور تضمین پایداری حلقة هدایت بدست آورد. با توجه به شکل ۲

می‌توان نوشت:

$$H(s) = q(s)/p(s) = (1/s) \left(2 - \left(\frac{K_1}{s} + K_2 \right) G(s) \right) \quad (13)$$

همچنین تابع غیرخطی $f(x, t)$ بصورت زیر می‌باشد:

$$0 \leq \alpha = 1/t_f \leq 1/t_{go} \leq \beta \quad (14)$$

که در آن β حد بالای تابع غیرخطی یا به عبارت دیگر کوتاه‌ترین زمان باقیمانده تا برخورد بوده که پایداری حلقة هدایت تضمین می‌باشد. لذا بدست آوردن حد β برای تحلیل پایداری حلقة هدایت از اهمیت خاصی برخوردار است. بهمنظور استفاده از قضیه ۱ بایستی ابتدا فرضیات لازم آن را بررسی نمود.

لم ۱: تابع تبدیل $G(s) = n(s)/d(s)$ که در آن $n(s)$ و $d(s)$ نسبت به هم اول هستند را در نظر بگیرید. مطابق رابطه (۱۳) در تابع تبدیل $H(s) = q(s)/p(s)$ ، $H(s) = q(s)/p(s)$ و $q(s)$ نسبت به هم اول هستند اگر شرایط زیر برقرار باشد:

$$n(s)|_{s=0} \neq 0 \quad (15)$$

$$d(s)|_{s=-K_1/K_2} \neq 0 \quad (16)$$

$$K_1 \neq 0 \quad (17)$$

اثبات: برای اثبات لم ۱ از لم زیر استفاده می‌شود:

لم ۲: دو چند جمله‌ای نسبت به هم اول $a(z)$ و $b(z)$ که در آن $\deg a(z) < \deg b(z)$ بوده و ثابت‌های c_1, c_2, c_3, c_4 می‌باشد را در نظر بگیرید. آن‌گاه چند جمله‌ای‌های $c_1c_4 - c_2c_3 \neq 0$ و $c_1a(z) + c_2b(z)$ نیز نسبت به هم اول می‌باشند [۱۸].

با استفاده از رابطه (۱۳) می‌توان نوشت:

$$sq(s) = -2sd(s) + (K_1 + K_2s)n(s) \quad (18)$$

$$p(s) = sd(s) \quad (19)$$

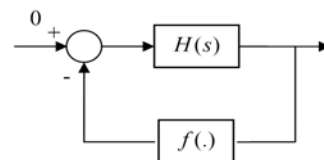
از آن‌جا که $n(s)$ و $d(s)$ نسبت به هم اول هستند بهمنظور این که

$(K_1 + K_2s)n(s)$ و $sd(s)$ نسبت به هم اول باشند بایستی هیچ ریشه

۳- روابط ریاضی ملاک دایره

یک سیستم حلقة بسته مطابق شکل ۳ که شامل ورودی صفر، تابع تبدیل سیستم خطی غیر متغیر با زمان در مسیر پیشرو و بهره غیرخطی متغیر با زمان مثبت در مسیر فیدبک است را درنظر بگیرید. فرض کنید [۱۹]:

فرض ۱: در تابع تبدیل $H(s) = q(s)/p(s)$ چند جمله‌ای‌های $p(s)$ و $q(s)$ نسبت به هم اول، $q(s)$ مونیک^۱ و سیستم اکیدا سره^۲ باشد.



شکل ۳: فرم کلی سیستم درنظر گرفته شده

فرض ۲: $f(\cdot)$ تابعی از زمان و متغیرهای حالت بوده و برای تضمین وجود و یکتاپی پاسخ معادله دیفرانسیل برای هر شرایط اولیه، این تابع به اندازه کافی هموار باشد.

اطلاعات پایداری سیستم حلقة بسته از اعمال ملاک دایره به تابع غیرخطی $f(\cdot)$ بحسب می‌آید و این تابع دارای محدودیت زیر می‌باشد:

$$0 \leq \alpha \leq f(x, t) \leq \beta < \infty, \quad \forall x \in R^n, \quad \forall t \geq t_0 \quad (11)$$

با این فرضیات و با استفاده از ملاک دایره، قضیه زیر شرایط کافی

برای پایداری مطلق فراگیر^۳ را بیان می‌کند:

قضیه ۱: سیستم حلقة بسته نشان داده شده در شکل ۳ با فرضیات ارائه شده در بالا پایدار مطلق فراگیر است اگر [۱۹]:

الف) $p(s) + kq(s)$ برای $\forall k \in [\alpha, \beta]$ صفرهایی در نیم صفحه سمت راست $\operatorname{Re}[s] > 0$ نداشته باشد.

ب) رابطه زیر به ازای $\forall \omega \in R$ برقرار باشد:

$$\operatorname{Re}\{[p(-j\omega) + \alpha q(-j\omega)][p(j\omega) + \beta q(j\omega)]\} \geq 0 \quad (12)$$

با استفاده از این قضیه می‌توان شرط‌های کافی بر روی المان غیرخطی $f(x, t)$ را برای تضمین پایداری سیستم حلقة بسته بدست آورد.

¹ Monic

² Strictly Proper

³ Global Absolute Stability

$$\begin{aligned} t_{go} &> \max\{A_1, A_2\} \\ A_1 &= \max_i \left\{ \frac{b_{n-i-2}}{2b_{n-i-1} - K_1 a_{n-j-i} - K_2 a_{n-j-i-1}} \right\} \\ A_2 &= \max_\omega \left\{ \frac{(K_1/\omega^2) \operatorname{Re}[G(j\omega)] - K_2 \operatorname{Re}[G(j\omega)/j\omega] + \alpha |H(j\omega)|^2}{1 + (\alpha K_1/\omega^2) \operatorname{Re}[G(j\omega)] - \alpha K_2 \operatorname{Re}[G(j\omega)/j\omega]} \right\} \end{aligned} \quad (26)$$

در رابطه بالا، شرط A_1 از بررسی شرط قضیه ۱ الف و رابطه (۲۴) بدست آمده و به بررسی پایداری سیستم فریز شده می‌پردازد. شرط A_2 نیز از بررسی شرط قضیه ۱ ب و جایگذاری رابطه (۱۳) در رابطه (۲۵) استخراج شده است.

۵- نتایج شبیه‌سازی

در این قسمت به شبیه‌سازی قانون هدایت ارائه شده و مقایسه آن با ناوبری تنسی پرداخته می‌شود.تابع تبدیل دینامیک جستجوگر و خودخلبان به صورت فرم کلی زیر در نظر گرفته می‌شود:

$$G(s) = \frac{1}{(\tau_1 s + 1)(s^2/\omega_n^2 + 2\xi s/\omega_n + 1)} \quad (27)$$

شرط پایداری سیستم فریز شده با توجه به رابطه (۲۴) و شرط A_1 در رابطه (۲۶) بصورت زیر بدست می‌آید:

$$K_1 > 0, \quad K_2 > 2 \quad (28)$$

$$t_{go} > \frac{2(2\tau_1\xi/\omega_n + 1/\omega_n^2)}{\tau_1 + 2\xi/\omega_n} \quad (29)$$

$$t_{go} > \frac{2\tau_1}{\omega_n^2} \quad (30)$$

اگر $\omega_n = 10$ ، $K_1 = 0.5$ ، $K_2 = 4$ ، $\tau_1 = 0.3$ ، $\xi = 0.5$ مطابق قضیه ۲ می‌توان شرط‌های پایداری سیستم را بدست آورده و با هم مقایسه نمود. اگر شرط پایداری نزدیک شده سیستم فریز شده بصورت کافی $\delta_f = A_1/t_f$ در نظر گرفته شود می‌توان به بررسی شروط کافی پایداری (۲۵) و ارتباط بین آن‌ها پرداخت. در شکل (۴) مقادیر δ_f و $\delta = A_2/t_f$ بر حسب زمان پرواز نشان داده شده است. با توجه به شکل مشاهده می‌شود که شرط پایداری (۲۵) یک شرط محافظه کارانه‌تر از شرط پایداری سیستم فریز شده می‌باشد و بررسی پایداری سیستم فریز شده برای تضمین پایداری سیستم حلقه بسته کافی نیست.

در شکل (۵) شرط پایداری A_2 در معادله (۲۶) به ازای پارامترهای ذکر شده در بالا و $\alpha = 0$ در فرکانس‌های مختلف و به ازای مقادیر مختلف بهره K_1 نشان داده شده است. با توجه به شکل مشاهده می‌شود که با افزایش بهره K_1 مقادیر بیشینه شرط پایداری کاهش یافته و لذا ناحیه پایداری در شرط A_2 افزایش می‌یابد. در شکل

مشترکی نداشته باشد و لذا بایستی شرط (۱۵) و (۱۶) برقرار باشد. اگر این دو عبارت نسبت به هم اول باشند با توجه به لم 2 ، $p(s)$ و $q(s)$ نیز نسبت به هم اول هستند. همچنین اگر $K_1 \neq 0$ باشد، آن‌گاه بوده و با استفاده از رابطه (۱۸) و (۱۹) می‌توان گفت، $K_1 n(0) \neq 0$ و $q(s)$ نسبت به هم اول هستند.

معادله مشخصه سیستم حلقه بسته شکل ۲ که در آن بهره متغیر با زمان $f(\cdot)$ بصورت فریز شده با مقدار $k \in [\alpha, \beta]$ نشان داده شده است، بصورت زیر می‌باشد:

$$1 + kH(s) = 1 + (k/s) \left(2 - \left(\frac{K_1}{s} + K_2 \right) G(s) \right) \quad (20)$$

فرض کنید $G(s) = n(s)/d(s)$ بصورت زیر باشد:

$$n(s) = a_{n-j}s^{n-j} + a_{n-j-1}s^{n-j-1} + \dots + a_1s + a_0 \quad (21)$$

$$d(s) = b_ns^n + b_{n-1}s^{n-1} + \dots + b_1s + b_0 \quad (22)$$

که در آن j اختلاف درجه بین صورت و مخرج تابع تبدیل $G(s)$ می‌باشد. رابطه (۲۰) را می‌توان با جایگذاری (۲۱) و (۲۲) بصورت زیر نوشت:

$$s^2 d(s) + k((K_1 + K_2)s)n(s) - 2sd(s) = 0 \quad (23)$$

به منظور بررسی شرط الف در قضیه ۱، شرط لازم و کافی برای این که عبارت بالا دارای هیچ صفری در سمت راست محور موهومی نباشد آن است که تمام ضرایب چندجمله‌ای بالا هم علامت باشند و لذا می‌توان نوشت:

$$b_{n-i-2} + kK_1 a_{n-j-i} - 2kb_{n-i-1} + kK_2 a_{n-j-i-1} > 0 \quad (24)$$

که در آن $i = 0, 1, \dots, n$ می‌باشد. لذا شرط بالا می‌تواند محدودیت بر روی k گذاشته و منجر به محدودیت در محدودیت تغییرات t_{go} شود. شرط پایداری (۲۴) با توجه به فریز کردن المان غیرخطی بدست آمده است.

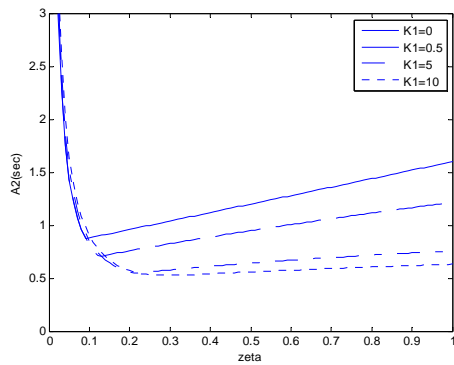
همچنین به منظور بررسی شرط ب در قضیه ۱ در [۱۸] اثبات شده است که شرط پایداری سیستم شکل ۳ با وجود سیستم خطی غیرمتغیر با زمان $H(s)$ در مسیر پیشرو و المان غیرخطی $1/t_{go}$ در مسیر فیدبک آن است که رابطه زیر برقرار باشد:

$$t_{go} \geq -\frac{\operatorname{Re}[H(j\omega)] + \alpha |H(j\omega)|^2}{1 + \alpha \operatorname{Re}[H(j\omega)]}, \quad \forall \omega \neq 0 \quad (25)$$

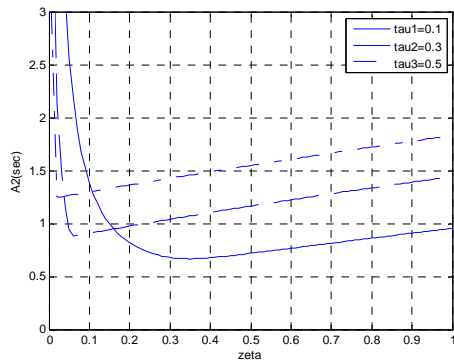
با استفاده از موارد ذکر شده در بالا و استفاده از روابط (۲۴) و (۲۵) می‌توان قضیه زیر را بیان نمود:

قضیه ۲: حلقه هدایت شکل ۲ با قانون هدایت تنسی-انتگرالی پایدار است اگر شرایط (۱۵)، (۱۶)، (۱۷) و (۲۴) برقرار بوده و محدوده پایداری از رابطه زیر بدست می‌آید:

در شکل (۷) شرط پایداری A_2 بر حسب ضریب میرایی خودخلبان و به ازای مقادیر مختلف بهره K_1 نشان داده شده است. با توجه به شکل مشاهده می‌شود که با افزایش بهره K_1 محدوده پایداری افزایش یافته است. همچنین می‌توان از شکل (۷) برای طراحی ضریب میرایی خودخلبان استفاده نمود. مثلاً برای یک سیستم با بهره $K_1 = 5$ می‌توان با انتخاب و طراحی $\zeta = 0.2$ به بیشترین ناحیه پایداری در حلقه هدایت رسید. در شکل (۸) شرط پایداری A_2 بر حسب ثابت زمانی جستجوگر و در شکل (۹) بر حسب فرکانس طبیعی خودخلبان به ازای مقادیر مختلف بهره K_1 نشان داده شده است. در این حالت نیز می‌توان از این شکل‌ها برای طراحی بهترین ضریب میرایی خودخلبان به منظور افزایش ناحیه پایداری استفاده نمود.

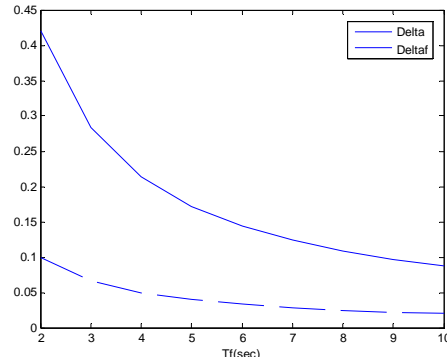


شکل ۷: شرط پایداری A_2 بر حسب ζ به ازای $K_2 = 4$ ، $\alpha = 0$ ، $\omega_n = 10$ و $\tau_1 = 0.2$ مقادیر مختلف

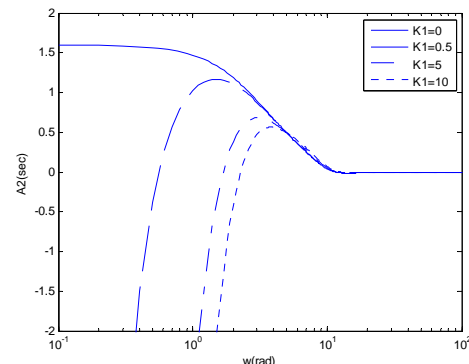


شکل ۸: شرط پایداری A_2 بر حسب ζ به ازای $K_1 = 0.5$ ، $\alpha = 0$ و $\omega_n = 10$ و مقادیر مختلف τ_1

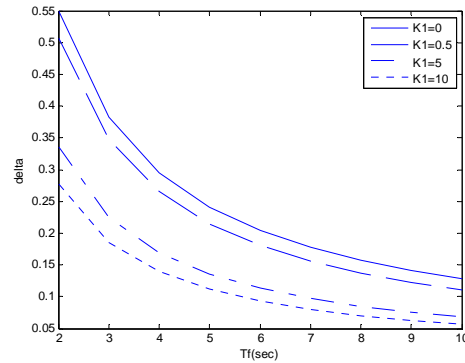
(۶) شرط پایداری نرمالیزه شده (۲۶) به ازای مقادیر مختلف بهره K_1 نشان داده شده است. با توجه به شکل، قانون هدایت جدید دارای محدوده پایداری بیشتری نسبت به ناوبری تناوبی ($K_1 = 0$) بوده و با افزایش بهره انتگرالی، ناحیه پایداری افزایش یافته است.



شکل ۹: نمایش δ_f و δ بر حسب زمان پرواز به ازای $K_1 = 2$ ، $\omega_n = 10$ ، $\zeta = 0.5$ ، $\tau_1 = 0.3$ و $K_2 = 4$



شکل ۱۰: شرط پایداری A_2 به ازای $K_2 = 4$ ، $\alpha = 0$ و $\omega_n = 10$ مقادیر مختلف K_1 و $\zeta = 0.5$



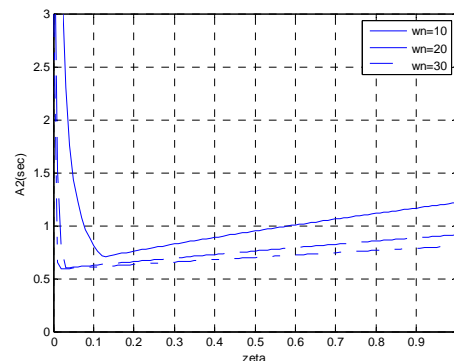
شکل ۱۱: شرط پایداری نرمالیزه شده بر حسب زمان پرواز به ازای $K_2 = 4$ ، $K_1 = 0.3$ ، $\omega_n = 10$ ، $\zeta = 0.5$ و $\tau_1 = 0.3$ و مقادیر مختلف

جدول ۱: مقایسه مشخصات بدست آمده توسط قانون هدایت تناسی و هدایت

تناسی-انگرالی در سناریوی اول

	زمان برخورد(ثانیه)	انرژی کنترلی
ناوبری تناسی	۲۲/۴۳	۱۶۴۸
تناسی-انگرالی	۲۱	۱۴۷۰

در سناریوی دوم مانور هدف در دستگاه قطبی به صورت $\dot{R} > 0$ می‌گردد و منجر به از دست دادن هدف و فاصله از دست دهی ۵۳۰ متر می‌گردد. ولی با اعمال قانون هدایت پیشنهاد شده، رهگیر و هدف با یکدیگر برخورد کرده و منجر به فاصله از دست دهی صفر می‌گردد. در شکل (۱۰) شتاب اعمال شده به رهگیر توسط قانون هدایت پیشنهاد شده و قانون هدایت تناسی نشان داده شده است. با توجه به شکل مشاهده می‌شود که با نزدیک شدن سرعت نزدیک شوندگی رهگیر به هدف به سمت صفر، شتاب اعمالی نیز کاهش یافته و به صفر نزدیک می‌گردد. در شکل (۱۱)، سرعت نزدیک شوندگی رهگیر به هدف نشان داده شده است. با توجه به این شکل، در قانون هدایت تناسی در این سناریوی پروازی $\dot{R} > 0$ شده که نشان دهنده ناپایدار شدن سیستم بوده و رهگیر قادر به تعقیب هدف نمی‌باشد. در شکل (۱۲) نرخ چرخش خط دید در هر دو قانون نشان داده شده است. همان‌طور که از شکل مشخص است، قانون هدایت جدید باعث قرار گرفتن موشک در نزدیک خط دید شده و لذا نرخ چرخش خط دید نسبت به قانون ناوبری تناسی به صفر نزدیک است. این مساله از آنجا حائز اهمیت است که در سناریوی واقعی و شبیه‌سازی غیرخطی و متغیر با زمان پرواز، یکی از مسایل مهم در پایداری موشک سریع صفر شدن نرخ چرخش خط دید است که منجر به ثابت ماندن سرعت نزدیک شوندگی موشک و هدف می‌باشد. لذا سیستم قوام بیشتری در برایر مانور هدف خواهد داشت. در جدول (۲) مشخصات بدست آمده توسط هر دو قانون در سناریوی دوم نشان داده شده است. با توجه به این سناریو می‌توان مشاهده کرد که قانون هدایت جدید، ناحیه درگیری بین رهگیر و هدف را افزایش داده است.

شکل ۹: شرط پایداری A_2 بر حسب ζ به ازای $0.5 \leq \alpha \leq 1$ ، $K_1 = 0.5$ ، $K_2 = 4$ و مقادیر مختلف w_n و $\tau_1 = 0.2$

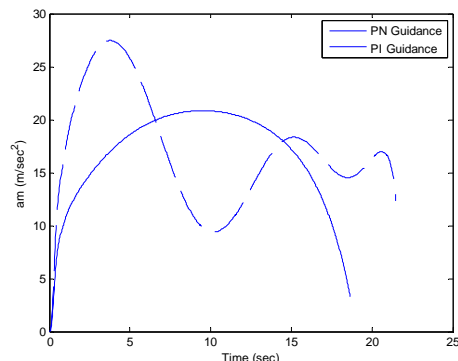
در این قسمت به شبیه‌سازی غیرخطی قانون هدایت جدید در مختصات دوبعدی برای دو سناریوی پروازی مختلف پرداخته و نتایج بدست آمده با قانون ناوبری تناسی مقایسه می‌گردد. در سناریوی اول، هدف در فاصله حدود ۲۲۰۰ متری از رهگیر در نظر گرفته شده و مکان اولیه هدف و رهگیر در مختصات کارترین کارترین $R_{m_0} = [0 \quad 0]^T \text{ m}$ ، سرعت $v_{m_0} = [169.9 \quad 107.3]^T \text{ m/s}$ و $v_{i_0} = [13.4 \quad 62.6]^T \text{ m/s}$ و مانور هدف در دستگاه قطبی به صورت $a_{i_r} = 5$ ، $a_{i_\theta} = 5 \text{ m/s}^2$ می‌باشد. شرط توقف شبیه‌سازی رسیدن به فاصله از دست دهی صفر و یا همان برخورد بین رهگیر و هدف می‌باشد. ضربی ناوبری در قانون ناوبری تناسی، $K_1 = 0$ و $K_2 = 4$ در نظر گرفته شده است و ضرایب موجود در قانون هدایت جدید به صورت $K_1 = 2$ و $K_2 = 4$ می‌باشد. در جدول (۱) مشخصات بدست آمده با اعمال این دو قانون آورده شده است. با توجه به شبیه‌سازی انجام شده، زمان لازم به منظور برخورد بین رهگیر و هدف در قانون هدایت جدید نسبت به ناوبری تناسی کمتر می‌باشد. همچنین یکی دیگر از معیارهای مقایسه بین قوانین هدایت مختلف، مقدار انرژی مورد نیاز برای اعمال سیکوال کنترلی می‌باشد. در این مساله، انگرال مجدد شتاب جانبی اعمال شده به رهگیر به عنوان معیاری برای مقایسه انرژی در نظر گرفته شده است. مطابق جدول (۱) مشاهده می‌گردد که انرژی مورد نیاز در قانون هدایت جدید کمتر از مقدار انرژی مورد نیاز با استفاده از قانون هدایت تناسی می‌باشد.

۶- نتیجه‌گیری

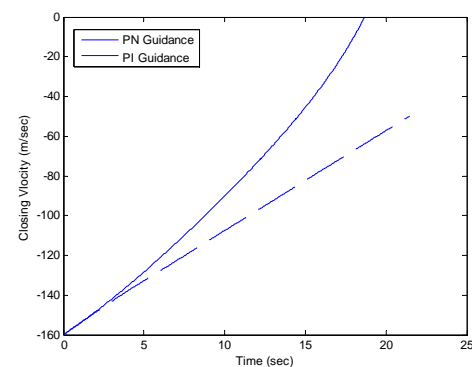
در این مقاله یک قانون هدایت تناسبی-انگرالی ارائه شد و تحلیل پایداری آن با درنظر گرفتن دینامیک خودخلبان و جستجوگر با استفاده از ملاک دایره صورت پذیرفت. از آن‌جا که مساله هدایت یک مساله زمان محدود بوده، با استفاده از ملاک دایره و به ازای زمان پرواز محدود، حد پایین پایداری حلقه هدایت بر اساس زمان باقیمانده تا برخورد بدست آمده است. از شروط پایداری بدست آمده می‌توان برای طراحی ضرایب قانون هدایت و تعیین پارامترهای مناسب خودخلبان و جستجوگر استفاده نمود. حد پایداری بدست آمده برای قانون جدید دارای محافظه‌کاری کمتری نسبت به ناوبری تناسبی بوده و دارای ناحیه پایداری بیشتری می‌باشد. نتایج شبیه‌سازی غیرخطی نشان می‌دهد که با استفاده از قانون هدایت جدید، رهگیر در مدت زمان کمتری به هدف برخورد کرده و از انرژی کمتری استفاده می‌نماید. همچنین با استفاده از شبیه‌سازی یک سناریوی پروازی مشاهده می‌گردد که ناحیه درگیری در این حالت نسبت به قانون هدایت تناسبی افزایش یافته است.

مراجع

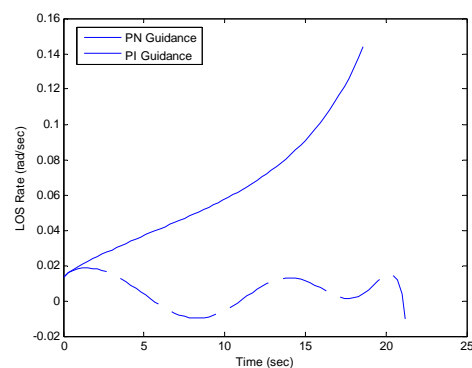
- [1] Zarchan, P. "Tactical and Strategic Missile Guidance", AIAA Series, Vol. 199, 2002.
- [2] Shneydor, N.A., "Missile Guidance and Pursuit; Kinematics, Dynamics and Control", Horwood Series in Engineering Science, 1998.
- [3] Yanushevsky, R.; "Modern Missile Guidance", CRC Press, Tailor&Francis Group, 2008.
- [4] Yanushevsky, R. and Boord, W., 2005, "Lyapunov approach to guidance laws design", *Nonlinear Analysis*, 743-749.
- [5] Yanushevsky, R. and Boord, W., 2005, "New approach to guidance law design", *Journal of Guidance, Control and Dynamics*, Vol. 28, No.1, 162-166.
- [6] Lechevin, N. and Rabbath, C.A., 2005, "Lyapunov-based nonlinear missile guidance", *Journal of Guidance, Control and Dynamics*, Vol. 27, No.6, 1096-1102.
- [7] Yanushevsky, R., 2006, "Concerning Lyapunov-based guidance", *Journal of Guidance, Control and Dynamics*, Vol. 29, No.2, 509-511.
- [8] Moon, J., Kim, K. and Kim, J., 2001, "Design of missile Guidance law via variable structure control", *Journal of Guidance, Control and Dynamics*, Vol. 24, No.4, 659-664.



شکل ۱۰: شتاب جانبی اعمال شده به رهگیر در سناریوی دوم



شکل ۱۱: سرعت نزدیک‌شوندگی رهگیر به هدف در سناریوی دوم



شکل ۱۲: نرخ چرخش خط دید در سناریوی دوم

جدول ۲: مقایسه مشخصات بدست آمده توسط قانون هدایت جدید و هدایت تناسبی در سناریوی دوم

	زمان اتمام شبیه‌سازی (ثانیه)	فاصله ازدستدهی (متر)
ناوبری تناسبی	۱۸/۶۷	۵۳۰
تناسبی-انگرالی	۲۱/۵	صفر

- [15] Shtessel, Y.B and Shkolnikov, I.A., 2003 “Integrated guidance and control of advanced interceptors using second order sliding modes”, *Proceeding of 42nd IEEE Conference on Decision and Control*, Maui, Hawaii, USA, 4587-4592.
- [16] Gurfil, P., Jodorkovsky, M. and Guelman, M., 2001, “Neoclassical Guidance for homing missiles”, *Journal of Guidance, Control and Dynamics*, Vol. 24, No.3, 452-459.
- [17] Gurfil, P., 2003, “Zero-miss-distance guidance law based on line-of-sight rate measurement only”, *Control Engineering Practice*, Vol. 11, 819-832.
- [18] Gurfil, P., Jodorkovsky, M., and Guelman, M., 1998, “Finite Time Stability Approach to Proportional Navigation Systems Analysis”, *Journal of Guidance, Control, and Dynamics*, Vol. 21, No. 6, 853-861.
- [19] Curran, P.F., 1993, “Proof of the circle criterion for state space systems via quadratic Lyapunov functions - Part 2”, *International Journal of Control*, Vol. 57, No. 4, 957-9691.
- [20] حیرانی نویری، جعفره، ۱۳۸۱، “نگرش نوین به هندسه در گیری با الهام از هدایت ناوبری تناوبی”， دانشگاه صنعتی خواجه نصیرالدین طوسی.
- [9] Zhou, D., and Sun, S., 2009 “Guidance Laws with Finite Time Convergence”, *Journal of Guidance, Control, and Dynamics*, Vol. 32, No. 6, 1838-1846.
- [10] [۱۰] محمدزمان، ایمان، مومنی، حمیدرضا، ۱۳۸۷، “طراحی قانون هدایت جدید به منظور مقابله با هداف مانوردار”， شانزدهمین کنفرانس مهندسی برق ایران، دانشگاه تربیت مدرس، ۴۰-۴۷.
- [11] Shima, T., Idan, M. and Golan, O.M., 2006, "Sliding mode control for integrated missile autopilot guidance," *Journal of Guidance, Control and Dynamics*, Vol.29, No.2, 250-260.
- [12] Lum, K.Y., Xu, J.X, Abidi, K. and Xu, H., 2008, "Sliding Mode Guidance Law for Delayed LOS Rate Measurement," *AIAA Guidance, Navigation and Control Conference and Exhibit*, Honolulu, Hawaii.
- [13] Koren, A., Idan, M. and Golan, O.M., 2008, "Integrated Sliding Mode Guidance and Control for a Missile with On-Off Actuators," *Journal of Guidance, Control and Dynamics*, Vol. 31, No.1, 204-214.
- [14] Shtessel, Y.B and Tournes, C.H., 2009, “Integrated Higher-Order Sliding Mode Guidance and Autopilot for Dual-Control Missiles,” *Journal of Guidance, Control, and Dynamics*, Vol. 32, No. 6, 1838-1846.